



تلفیق داده‌های زمین‌شناسی، کانی‌سازی و مطالعات ژئوفیزیکی IP/RS کانسار ماہور - شمال غرب دهسلم، بلوک لوت

آرش گورابجیری پور¹ و محسن مبasherی^{2*}

- (1) دانشگاه آزاد اسلامی واحد میانه، گروه زمین‌شناسی، میانه، ایران
 (2) گروه پترولئومی و زمین‌شناسی اقتصادی، دانشکده علوم زمین، دانشگاه شهرورد، شهرورد، ایران

دریافت مقاله: 1393/2/7، پذیرش: 1393/8/10

چکیده

منطقه اکتشافی ماہور، یک سیستم پلی‌متال مس، روی و نقره است. کانی‌سازی در ماہور به دو صورت رگه‌های و انتشاری نمود دارد. این منطقه در بلوک لوت و در غرب دهسلم واقع است. سنجش‌نامه ملی منطقه ماہور مشتمل بر بازالت، آندزیز، داسیت، ریولیت و آذرآوریهای است. این مجموعه در ائوسن پایانی – الیگوسن زیرین مورد هجمه تودهایی با ترکیب دیوریت تا کوارتز دیوریت قرار گرفته است. زون‌های دگرسانی در منطقه شامل آرژیلیک، سیلیسی، کوارتز- سریسیت- پیریت، کلریتی و پروپلیتیک است. میزبان رگه‌های معدنی رخمنون یافته در کانسار ماہور سنگهای با ترکیب داسیتی است، که روندی شمالی - جنوبی دارند. رگه‌های کانی‌سازی با روند NNE-SSW و شبیه 85 تا 90 درجه دیده می‌شوند. کانیهای اولیه شامل پیریت، کالکوپیریت، اسفالریت، گالن، تتراهردیت، کوارتز و کانیهای ثانویه ملاکیت، آتاکامیت، آزوریت و گوتیت است. ناهنجاریهای بالایی از عنصر مس (تا 60417 ppm) و روی (تا 250438 ppm) و نقره (تا 1988 ppm) در محدوده مورد مطالعه نمود دارد. برداشت‌های IP/RS به منظور تعیین موقعیت و گسترش کانی‌سازی سولفیدی و اکسیدی در عمق انجام شد. خط مبني مطالعات ژئوفیزیکی شمال‌شرق- جنوب‌غرب (N 7° E) هم روند با رگه معدنی و پروفیل‌ها عمود بر این روند طراحی شده‌اند. مقدار شارژ‌ابیلیتیه به 40msce می‌رسد که حاکی از وجود سولفید و کانیهای فلزات پایه در منطقه است. در کانسار ماہور دو زون مقاومت ویژه بالا و کم قابل تشخیص است. زون مقاومت ویژه بالا تا 350ohm.m در شبه مقاطع، مرتبط با زونهای کمتر خردشده است. زون دارای مقاومت ویژه بالا و کم قابل تشخیص است. زون مقاومت ویژه به شدت خرد شده می‌باشد. بهطور کلی برداشت‌های شارژ‌ابیلیتیه در منطقه ماہور وجود دو زون ناهنجاری در شمال شرق و دیگری در جنوب غرب محدوده را به‌وضوح نشان می‌دهد. 6 گمانه حفر شده در محل ناهنجاری معرفی شده مطالعه و در فواصل 1 متری از مغذه‌ها نمونه ژئوشیمیایی اخذ گردید. بیشترین ناهنجاریها همراه با آلتراسیون کوارتز- سریسیت- پیریت، سیلیسی، کلریت و مناطق با گسترش شدید اکسیدهای آهن ثانویه است.

واژه‌های کلیدی: شارژ‌ابیلیتیه، مقاومت ویژه، چاهنگاری، ماہور، بلوک لوت

لوت در سنوزوئیک به‌طور خاص در ائوسن شاهد فعالیتهای گستردگی ماقمایی بوده است (Aghanabati, 2004). فعالیتهای اکتشافی اخیر و مطالعات صورت گرفته توسط محققان زمین‌شناس در این بخش از پهنه آتش‌نشانی - نفوذی لوت حاکی از اهمیت آن به لحاظ اکتشاف ذخایر جدیدی از مس، طلا، روی و سرب می‌باشد.

مقدمه

منطقه اکتشافی ماہور یک سیستم پلی‌متال (مس، روی و نقره) رگه‌های در شرق ایران و 45 کیلومتری غرب دهسلم است، که در محدوده طولهای جغرافیایی "53° 58' 00" تا "53° 38' 10" شرقی و عرض جغرافیایی "31° 09' 10" تا "30° 31' 10" شمالی قرار دارد (شکل 1). منطقه مورد گزارش به لحاظ تقسیمات ساختاری جزئی از بلوک لوت است. این بخش از

4- عملیات اندازه‌گیری IP/RS به تعداد 2585 نقطه و به روش مستطیلی با فاصله پروفیل‌های 50 متر و فاصله الکترودی 20 متر

5- تفسیر مقاطع IP/RS با توجه به اطلاعات زمین‌شناسی، آلتراسیون و کانی‌سازی

زمین‌شناسی

محدوده مورد مطالعه از نظر تقسیمات زمین‌شناسی جزئی از بلوک لوت است. محدوده اکتشافی ماهور از نظر زمین‌شناسی ناحیه‌ای در جنوب‌غربی چهارگوش 1:250000 (Griffs et al., 1992) و شرق بلوک لوت واقع است. بر اساس داده‌های موجود در نقشه یاد شده این منطقه مجموعه‌ای از سنگهای آتشفشاری و مواد آذراواری است. با تأکید بر روی محدوده اصلی آلتراسیون - کانی‌سازی ماهور و بهمنظور تفکیک بیشتر سنگ‌شناسی، کانی‌سازی و آلتراسیون منطقه، نقشه‌ای در مقیاس 1:1000 تهیه شد (شکل 2). بر اساس روابط صحرایی و مطالعات میکروسکوپی انجام گرفته واحدهای سنگ‌شناسی موجود در منطقه را می‌توان به شرح زیر تقسیم کرد:

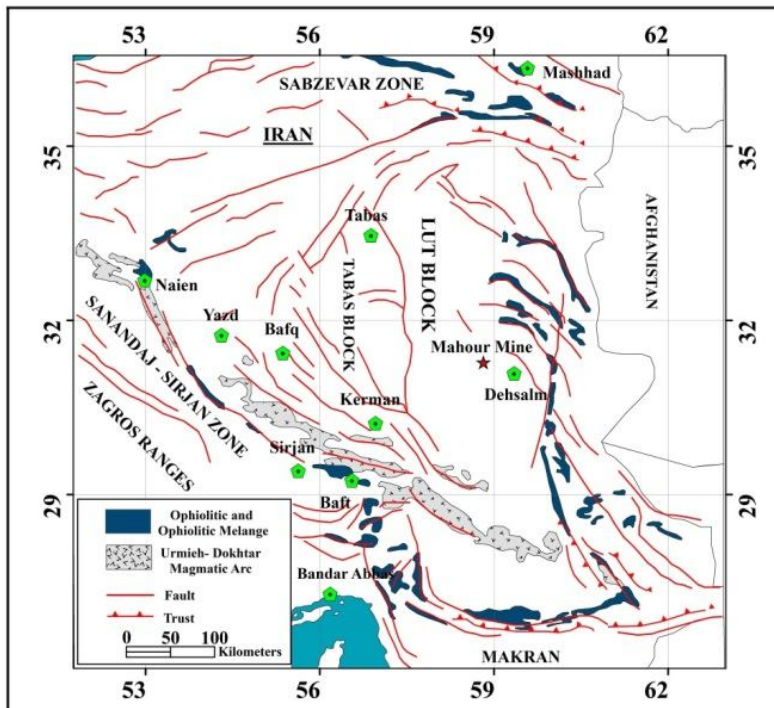
- 1- سنگهای آذراواری شامل لاپیلی توف، کریستال - ویتریک توف و ایگنیمبریت به سن اثوسن پیشین - میانی،
- 2- سنگهای داسیتی که توده‌های نیمه عمیق در آن نفوذ کرده است،
- 3- واحدهای حدواست تا بازیک به سن ائو- الیگوسن،
- 4- توده‌های نفوذی نیمه عمیق نظیر دیوریت، کوارتزدیوریت و گراناتدیوریت
- 5- تراس‌های آبرفتی متعدد، رسوبات رودخانه‌ای، تل ماسه‌ها و دشت‌های سیلابی عهد حاضر.
- سنگهای آذراواری شامل توف و توف‌های جربانی به رنگ قهوه‌ای، قرمز تا سبز قدیمی‌ترین واحد رخمنون یافته در محدوده ماهور است. این واحد در بخش‌های شرقی و غربی محدوده مورد مطالعه بروزن زد دارند. توف‌ها بیشتر از نوع لاپیلی توف، کریستال - لیتیک توف، کریستال - ویتریک توف و ایگنیمبریت می‌باشند. این واحد دارای بافت پیروکلاستیکی است. اجزای اصلی سازنده این سنگها را قطعات سنگی و بلورهای پلاژیوکلاز، آلکالی فلدسپار، بیوتیت و آمفیبول تشکیل می‌دهند. قطعات سنگی اغلب با اندازه‌هایی بیش از 1 mm دارای ترکیب آندزیتی بوده و درشت‌بلورها در این قطعات به طور عمده پلاژیوکلاز و با خمیره میکرولیتیک تا شیشه‌ای هستند.

در گذشته چندین نوشه علمی در مورد کانسار ماهور منتشر شده است، میرزاپی راینی و همکاران (Mirzaei Rayni et al., 2012a; Mirzaei Rayni et al., 2012b) به مطالعه سیالات کانسار ماهور پرداخته‌اند. سپس اسفورم و همکاران (Sform et al., 2012) نیز با برداشت تعدادی نمونه سنگی از محدوده کانسار سعی در مطالعه ژئوشیمی و سنگ‌شناسی واحدهای دربرگیرنده کانسار ماهور نموده‌اند.

پژوهش حاضر سعی در تکمیل مطالعات صورت گرفته پیشین در مورد کانسار ماهور را دارد. در این مقاله، برای نخستین بار از محدوده کانسار نقشه زمین‌شناسی - معدنی با مقیاس 1/1000 ترسیم و موقعیت، هندسه و روند واحدهای مختلف و رگه معدنی بهخوبی نمایش داده شده است. نقشه‌های مشابهی از هندسه و پراکندگی کانیهای سولفیدی و اکسیدی نیز ترسیم شده است. همچنین با استفاده از روش ژئوفیزیکی IP/RS و تلفیق نتایج حاصل از آن با سایر واحدهای زمین‌شناسی سعی در تعیین محل و گسترش عمقی رگه‌های سولفیدی، بهمنظور تعیین محل دقیق نقاط حفاری شده است. روش IP/RS در تعیین محل و گسترش عمقی کانی‌سازی سولفیدی در کانسارات مختلفی مانند المپیک دم در استرالیا (Esdale et al., 1987)، کانسار طلای اپی‌ترمال هیشی کاری Okada, 1995; Okada, 2000; در کاگوشیمای ژاپن (Lzawa et al., 1990)، سرب و روی زی‌چنگ در چین (Guo et al., 2000) مس رسوی آدلاید جنوب استرالیا White et al., 2003)، مس هیل (Stuart and Dentith, 2003) و کانسار سرب، روی، نقره و مس مانت ایسا در کوئینزلند استرالیا (Rutley et al., 2001) استفاده شده است.

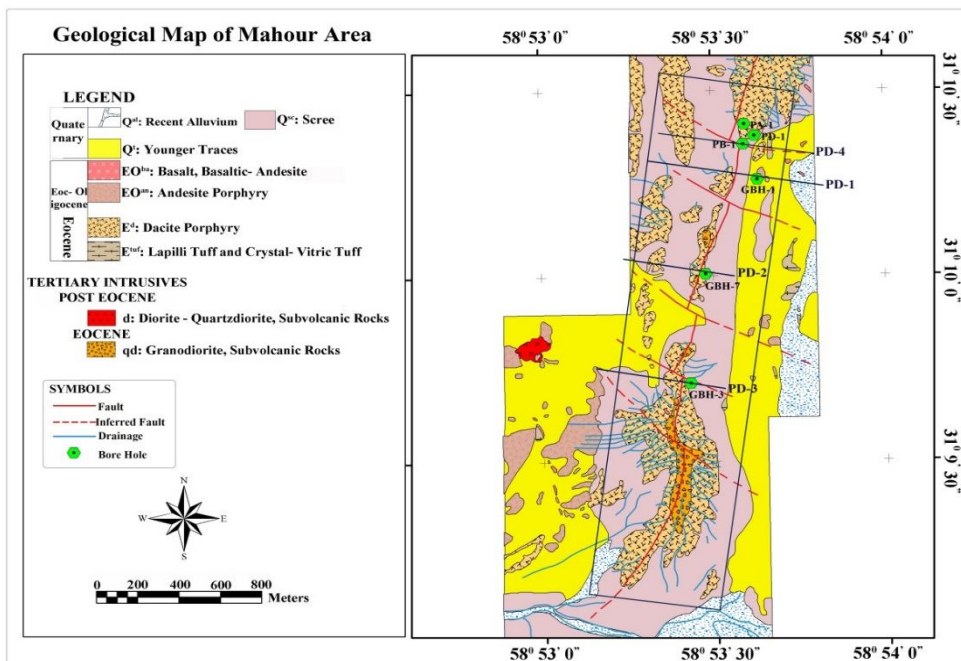
روش مطالعه

- 1- مطالعه 70 مقطع نازک و 45 بلوک صیقلی بهمنظور مطالعات پتروگرافی، آلتراسیون و کانی‌سازی سطحی و زیرسطحی
- 2- تهیه نقشه زمین‌شناسی و کانی‌سازی با مقیاس 1:1000 از محدوده مورد مطالعه
- 3- مطالعه زمین‌شناسی، آلتراسیون، کانی‌سازی و ژئوشیمی 6 گمانه حفر شده



شکل 1. موقعیت کانسار ماهور بر روی نقشه ساختاری مرکز و شرق ایران (Berberian, 1981; Jackson and Mckenzie, 1984; Haghipour (and Aghanabati, 1989; Hajimirzajan et al., 2013

Fig. 1. Position of the Mahour ore deposit on the tectonic map of central and eastern Iran (Berberian, 1981; Jackson and Mckenzie, 1984; Haghipour and Aghanabati, 1989; Hajimirzajan et al., 2013)



شکل 2. نقشه زمین‌شناسی منطقه ماهور، چهارگوش مطالعات ژئوفیزیکی و موقعیت پروفیل‌های IP/RS در کانسار ماهور

Fig. 2. Geological map of the Mahour area, the rectangle of geophysical studies and position of IP/RS profiles in Mahour ore deposit

غرب منطقه رخنمون دارد. در این واحد بافت، گرانولار و پورفیری با زمینه دانه متوسط است. کانیهای مشاهده شده در این واحد عبارتند از: پلازیوکلاز، هورنبلنده، اوژیت، آپاتیت و کوارتز که با فراوانی کمتر از 5 درصد در بین کانیهای دیگر نمود دارد. از محصولات دگرسانی پلازیوکلاز می‌توان به سرسیت و کانیهای رسی اشاره کرد. کانیهای مافیک این واحد نیز در برخی نقاط با کلریت و کانیهای اپاک جایگزین شده‌اند. کوارتزدیوریت نیز در غرب محدوده بروون‌زد دارد. این واحد دارای بافت گرانولار متوسط بلور می‌باشد، همچنین همرشدنی محلی کانیهای کوارتز و فلدسپات آلکالن باعث ایجاد بافت میکروگرافیک در این واحد شده است. عمدۀ کانیهای تشکیل‌دهنده این واحد عبارتند از: پلازیوکلاز، فلدسپات آلکالن، هورنبلنده و کوارتز با فراوانی 15 تا 20 درصد. کانیهای حاصل از دگرسانی این واحد شامل کلریت، کربنات و اپیدوت است. گرانودیوریت نیز در بخش مرکزی و جنوب محدوده مورد مطالعه بروون‌زد دارد. این واحد دارای بافت گرانولار متوسط دانه است. عمدۀ کانیهای تشکیل‌دهنده آن واحد شامل کوارتز، پلازیوکلاز، هورنبلنده و آلکالی فلدسپار است. از محصولات دگرسانی فلدسپات‌ها می‌توان به سرسیت و کانیهای رسی اشاره کرد. هورنبلنده نیز در برخی نقاط با کلسیت و سرسیت جایگزین شده است. این واحد در محل بروون‌زد داسیت‌هارا قطع کرده است. واحدهای آتشفسانی منطقه عبارتند از: داسیت، آندزیت، بازالت، آندزیت- بازالت و آذرآواری.

دگرسانی

بر اساس مطالعات انجام شده دگرسانیهای متفاوتی در محدوده مورد مطالعه قابل تفکیک است. این دگرسانیهای شامل (1) دگرسانی پروپیلیتیک (2) آرژیلیک (3) فیلیک (کوارتز+پیریت+سرسیت) (4) سیلیسی شدن می‌باشند. دگرسانی پروپیلیتیک در بخش شرقی، جنوب شرقی و غرب محدوده گسترش دارد، این دگرسانی بیشتر همراه با واحدهای بازالت، بازالتیک- آندزیت، آندزیت و به صورت ضعیفتر همراه با واحد دیوریتی است. کانیهای عمدۀ تشکیل‌دهنده این زون شامل کلریت، کلسیت و اپیدوت است. این دگرسانی در منطقه به طور محلی با سرسیت و پیریت نیز همراه می‌باشد. دگرسانی آرژیلیک به‌علت حضور گستردۀ کانیهای رسی با تخریب بافتی همراه

از خصوصیات این قطعات می‌توان به مورفولوژی زاویه‌دار تا بیضی شکل اشاره نمود. در برخی موارد این لیتیک‌ها توسط کلسیت جایگزین شده است. از عمدۀ‌ترین درشت‌بلورها می‌توان به قطعات زاویه‌دار کوارتز، بیوتیت‌های کلریتی شده و پلازیوکلازهای سرسیتی شده با پراکندگی کم اشاره نمود. در برخی موارد این کانیها توسط کلسیت با نسبتهای متفاوت جایگزین شده‌اند. خمیره از قطعات پیروکلاستیکی در حد خاکستر تشکیل شده است. این قطعات تا حدی توسط کلسیت و کلریت جایگزین شده است. داسیت با رنگ روشن بیشترین گسترش را در محدوده کانسار ماهور دارد. این واحد در مرکز، غرب و شمال غرب محدوده بروون‌زد دارد. بافت این واحد پورفیری است. کانیهای تشکیل‌دهنده آن عبارتند از: پلازیوکلاز، کوارتز و هورنبلنده. در این واحد در برخی نقاط پلازیوکلاز با سرسیت و هورنبلنده با کلسیت، سرسیت و کانیهای رسی جایگزین شده‌اند. آندزیت نیز در شرق و جنوب شرق منطقه رخنمون دارد. در این واحد بافت پورفیری مشاهده شده است. در برخی نقاط با تجمع درشت‌بلورها بافت گلومروپورفیریتیک ایجاد شده است. کانیهای اصلی تشکیل‌دهنده این واحد شامل پلازیوکلاز و هورنبلنده است. سرسیتی و کربناتی شدن با شدت کم تا شدید هورنبلندها از کربناتی و کلریتی شدن با شدت کم تا شدید هورنبلندها از انواع دگرسانی این واحد به شمار می‌آید. مجموعه آتشفسانی بازالتی شامل بازالت و آندزیت- بازالت با بافت پورفیری و ویتروفیریک در بخش‌های شرقی و شمال‌غربی و غرب محدوده مورد مطالعه بروون‌زد دارد. حضور تجمع‌های بلوری در زمینه سبب ایجاد بافت گلومروپورفیریک در این واحد شده است. این واحد به طور عمدۀ از کانیهای پلازیوکلاز، پیروکسن، هورنبلنده و اولیوین تشکیل شده است. بلورهای فلدسپار با درجات شدید دگرسانی کربناتی، کلریتی و به میزان کمتر دگرسانی سیلیسی را نشان می‌دهند. بلورهای هورنبلنده دگرسانی کلریتی شدید و کمتر کربناتی شدن را نشان می‌دهند. پیروکسن و اولیوین‌ها اکسیدهای آهن با درجه شدید جانشین شده‌اند. تودهای حاشیه اپاسیتیه شده نشان می‌دهند، و توسط کلریت و نیمه‌عمیق منطقه ماهور شامل دیوریت، کوارتزدیوریت و گرانودیوریت می‌شوند. بافت اغلب آنها پورفیری با زمینه ریز تا متوسط دانه است و گاه بافت گرانولار دارند. این توده‌ها به شکلهای آپوفیز و دایک در منطقه قابل مشاهده‌اند. دیوریت در

و موجب تشکیل منطقه اکسیدی و یک زون غنی‌سازی بربین‌زاد در کانسار ماهور شده است. در اقلیمهای بسیار خشک، کانیهای حل‌شدنی در آب مانند سولفاتها و کلریدهای مس و آهن، می‌توانند در منطقه اکسایش باقی بمانند (Guilbert and Park, 2010). از این‌رو اقلیم خشک کویر لوت سبب شده است که منطقه اکسیده تا حدودی مس خود را به صورت ملاکیت و آتاکامیت حفظ کرده باشد. این کانیها به همراه هیدروکسیدهای آهن در بخش سطحی و در داخل شکستگیها ایجاد شده‌اند. دانه‌های نیمه شکل دار تا بی‌شکل گوتیت و لاشه‌های متحددالمرکز لپیدوکروسیت (شکل 5-A) از جمله هیدروکسیدهای آهن این زون به شمار می‌آیند. با توجه به این‌که درجه انحلال گوتیت در مواجهه با آثار جوی زیاد است، در نتیجه در این منطقه پس از شستشو همراه با هیدروکربناتهای مس از جمله ملاکیت و آزوریت فضایی بین دانه‌های سولفیدی واپاشی شده را فرا گرفته‌اند و گاه با لاشه‌های هیدروکسید آهن به صورت متناوب در آمده‌اند (شکل 5-B). به طور کلی پاراژنر کانیایی منطقه فروشست و اکسیدی شامل ملاکیت، آزوریت، آتاکامیت، گوتیت، لیپیدوکروسیت و هماتیت است. منطقه غنی‌شده در کانسار ماهور بلا فاصله از زیر بخش اکسیده در ژرفای تقریبی 80 تا 150 متری از سطح زمین گسترش دارد. ممکن است این مرز متغیر بین منطقه غنی‌شده و منطقه اکسیدی بربین‌زاد باشد (Guilbert and Park, 2010). مقدار مس در زون غنی‌سازی به طور ناگهانی افزایش یافته است، و به سمت کانسنگ اولیه به تدریج کم می‌شود. در کانسار ماهور آثار غنی‌سازی بربین‌زاد تا اعماق 400 متری از سطح زمین قابل رویابی است. به طور کلی این منطقه در کانسار ماهور با اجتماعی از کانیهای کوولیت، کالکوپیریت، برنتیت و انگلزیت مشخص است. این کانیها به صورت جانشینی و حاشیه‌ای جایگزین کانیهای نظریر کالکوپیریت و پیریت شده‌اند. در شکل (5-D) نمایی از واپاشی کالکوپیریت اولیه به کوولیت که طی آن تنها آثاری از کالکوپیریت اولیه به عنوان بافت باقی‌مانده بر جا مانده است، نمایش داده شده است. در منطقه درون‌زاد و یا اولیه نیز کانیهای مشتمل بر پیریت، اسفالیت، کالکوپیریت، گالن، کوباتیت، آرسنوبیریت و استیبنیت نمود دارند.

است. این زون در محدوده مورد مطالعه با واحد داسیتی و گرانودیوریت همراه است. کانیهای رسی عمدۀ محصول این دگرسانی می‌باشند. از دیگر کانیهای مشاهده شده در این زون می‌توان به سیلیس، سرسیت و سولفید اشاره کرد. در برخی از نقاط نیز کلریت با شدت کم قابل تشخیص است، حضور این کانی نشانه‌ای از تداخل این زون دگرسانی با زون پروپیلیتیک می‌باشد. هوازدگی سوبرژن نیز سبب افزایش کانیهای رسی و تشکیل کانیهای لیمونیت و ژپس در این دگرسانی شده است. زون کوارتز+سرسیت+پیریت (لیمونیت) در مرکز و شمال محدوده مورد مطالعه همراه با واحد گرانودیوریت و داسیت نمود دارد. این دگرسانی واجد پیریت، پیریت‌های اکسیده و یا لیمونیت‌های پراکنده و ریزلور، سیلیس و سرسیت است. سیلیسی شدن در منطقه مورد مطالعه به چند حالت مختلف قابل مشاهده می‌باشد. توده‌های سیلیسی بی‌قاعده، رگه‌های سیلیسی توده‌ای و کوارتز شانه‌ای شیری تا خاکستری رنگ از جمله نمودهای مختلف این دگرسانی در منطقه است. توده‌های سیلیسی بی‌قاعده به صورت زون‌ها و کپهای بهشت سیلیسی کریپتوکریستالین تا دانه ریز در سطح رخنمون دارند. در برخی موارد این سیلیس‌ها با مقادیر متفاوتی از پیریت، لیمونیت، گوتیت، هماتیت و ملاکیت همراه می‌باشند.

کانی‌سازی

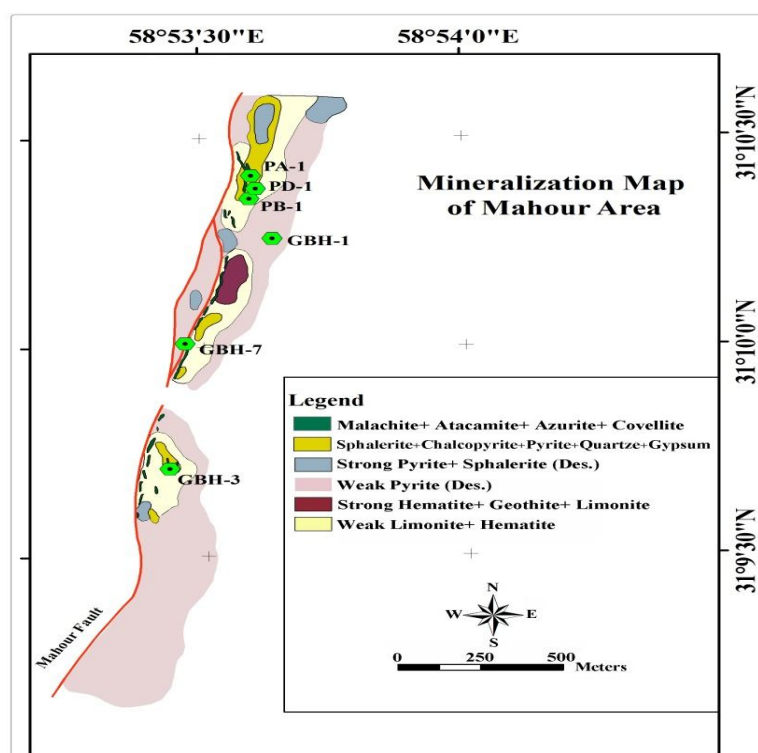
کانی‌سازی رخنمون یافته در منطقه به صورت رگه‌ای، در زون گسلی ماهور موجود در واحد فلزیتی متعلق به ترشیری است. روند این گسل رگه NNE-SSE و دارای شیب 80 تا 85 درجه به سمت شرق است. طول رگه کانی‌سازی شده در امتداد گسل ماهور به 1200 متر می‌رسد. کانسنگ، فضاهای خالی در امتداد این گسل را که پهنه‌ای متغیر از، کمتر از 40 سانتی‌متر تا افرون بر 6 متر دارد، پر کرده است. در شکل 3 روند، هندسه و کانی‌شناسی کانسنگ نشان داده شده است. بر اساس مطالعات صورت گرفته صحرایی و آزمایشگاهی و بررسی مغزه‌های حفاری، در نگاهی کلی از سطح به عمق، کانی‌زایی را در کانسار ماهور می‌توان به سه منطقه فروشست و اکسیدی، غنی‌شدنگی (غنی‌سازی) سولفیدی و منطقه درون‌زاد و یا اولیه تقسیم نمود. آبهای جوی مقادیری از کانسنگ‌های سولفیدی نظریر مس، روی و سرب را شسته و به سمت پایین انتقال داده

بی‌شکل از اسفالریت در داخل بلورهای پیریت قدیمی مشاهده شده است، که می‌تواند نشان‌دهنده فازی کانه‌دار از اسفالریت قبل از پیریت باشد، در نتیجه کانی اسفالریت در کانسار ماہور قابل تفکیک به دو نسل قدیم و جدید می‌باشد.

کالکوپیریت با درصد حجمی متوسط (1 تا 10 درصد) تا بالا (بیش از 10 درصد) و اندازه‌های 0/2 تا 0/6 میلی‌متر در نمونه‌های مطالعه شده نمود دارد. کالکوپیریت نیز در کانسار پلی‌متال ماہور به صورت دو نسل قدیم و جدید وجود دارد. نسل قدیم به عنوان انکلوژیون در داخل دانه‌های پیریت قدیمی مشاهده شده است. کالکوپیریت نسل جدید نیز به صورت فاز واخورده و جدا شده از اسفالریت در عمق‌های کم و هم به صورت بافت توده‌ای در عمق‌های بیشتر مشهود است (شکل 5-D, G و H). گلن، با بافت رگه‌چهای - توده‌ای با درصد حجمی متوسط (1 تا 10 درصد) و در اندازه‌های 0/01 تا 0/3 میلی‌متر با قدرت بازتابش (R%≈45) در نمونه‌های مطالعه شده تاظهر دارد. این کانی فازهای قدیمی‌تر نظیر اسفالریت، کالکوپیریت و تراهaderیت را قطع کرده و در داخل آن جای گرفته است (شکل 5-E و 5-H).

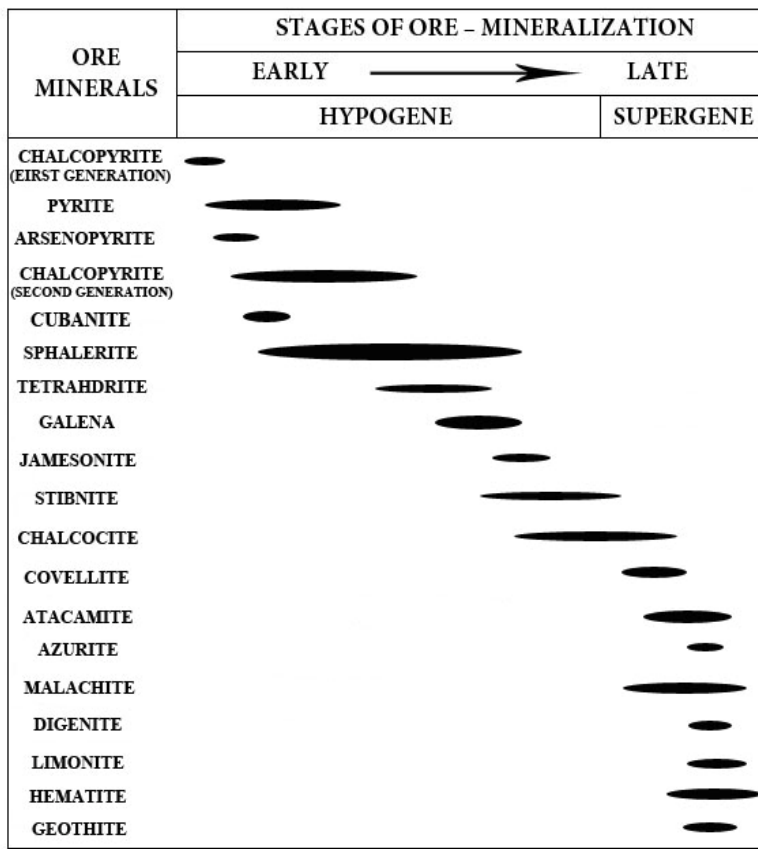
همان‌طور که در نمودار توالی پاراژنزی کانسار ماہور (شکل 4) قابل ملاحظه است، پیریت یکی از فراوانترین و قدیمی‌ترین کانی‌های سولفیدی در کانسار ماہور است. در نمونه‌های مورد مطالعه این کانی به‌طور غالب به صورت پراکنده با بلورهای خودشکل تا نیمه‌شکل دار و با اندازه‌های 0/03 تا 7 میلی‌متر با درصد حجمی بالا بیش از 10 درصد (تا 85 درصد) با قدرت بازتابش بالا (R%≈55) تاظهر دارد. برخی از بلورهای پیریت دچار تنشهای تکتونیکی شده و به شیوه مکانیکی خرد شده و به قطعاتی ریز و درشت به فابریک برشی تبدیل شده‌اند (شکل 5-C). این خردشدنگی می‌تواند گوبای پدیده میلیونیتی شدن باشد.

اسفالریت، به صورت بافت توده‌ای به رنگ خاکستری و با رنگ انعکاسی داخلی نارنجی با اندازه‌های 1 تا 4 میلی‌متر و با درصد حجمی بالا بیش از 10 درصد (تا 60 درصد) نمود دارد، این کانی حاوی ریزگه‌های قطره‌های امولسوئیدی کالکوپیریت در جهات خاص است که تداعی کننده بافت اکسولوشن امولسوئیدی می‌باشد (شکل 5-G). این کانی همچنین در بردارنده انکلوژیون‌های پیریت فاز انتشاری است، که نشانه جوانتر بودن آن است. در یک مقطع انکلوژیونی



شکل 3. نقشه کانی‌سازی کانسار ماہور (بر اساس مطالعات چاهنگاری و پیمایش‌های صحرایی)

Fig. 3. Mineralization map of Mahour ore deposit (based on logging studies and field survey)



شکل 4. نمودار شماتیک توالی پارازنتیکی عمومی کانسار ماہور

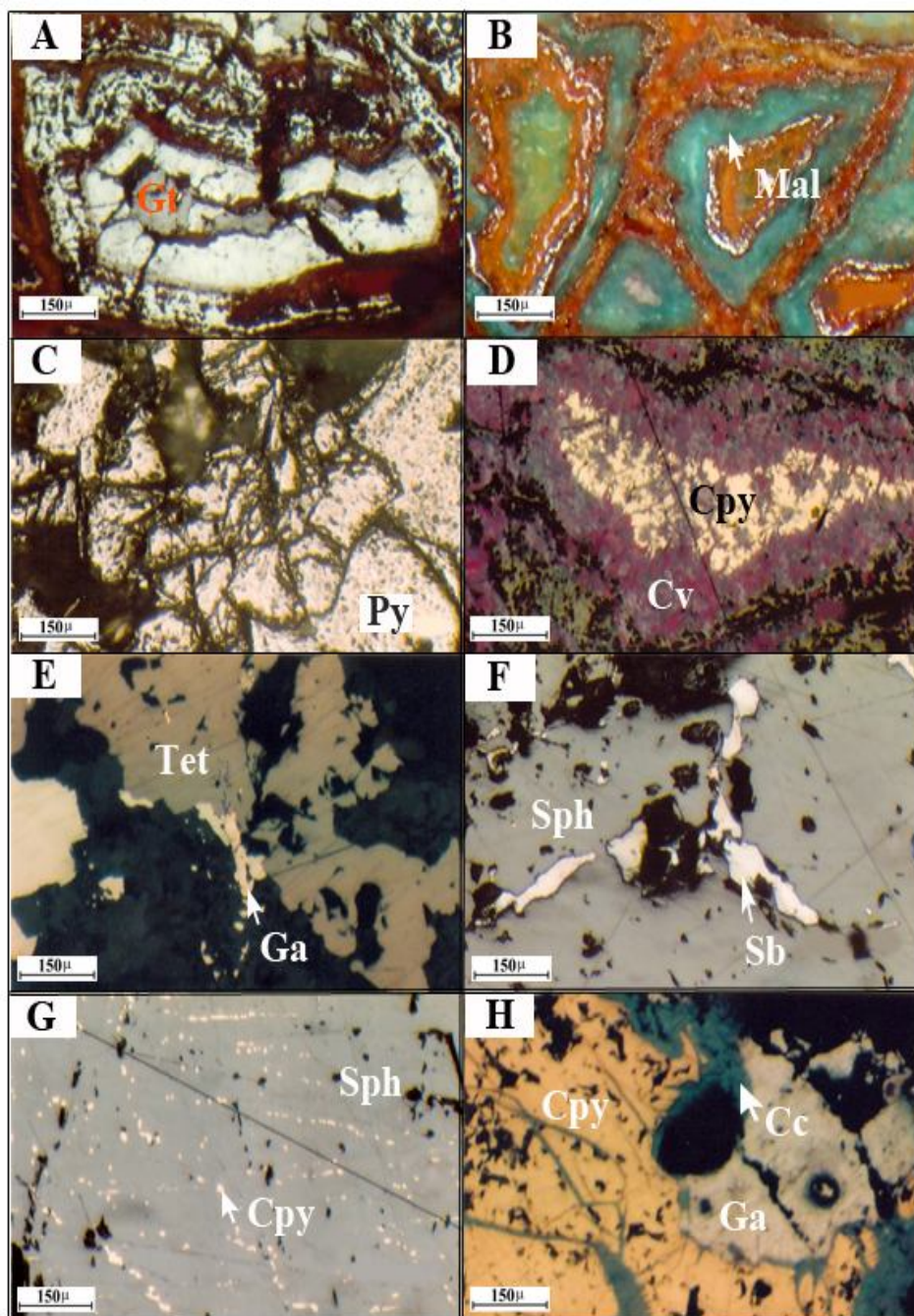
Fig. 4. Schematic diagram showing generalized paragenetic sequence at the Mahour ore deposit

زمانی دیرتر از فاز اول اتفاق افتاده و نمود آن کانی استیبنیت است (شکل ۵-۵) F. همچنین وجود آرسنوبیریت به عنوان ردیاب طلا و استیبنیت که همبود یا همیافت با کانی سازی طلا می‌باشد، وجود طلا همراستا با این فاز را قطعی می‌کند.

برداشت‌های IP/RS

عملیات IP/RS با استفاده از آرایش مستطیلی با فاصله پروفیل‌های ۵۰ متر و فاصله الکترودی ۲۰ متر طراحی و اجرا شد. در مجموع در کانسار ماہور ۲۵۸۵ نقطه با روش IP/RS برداشت شد. دستگاه‌های مورد استفاده در این عملیات ژئوفیزیکی عبارت است از: دستگاه فرستنده جریان^۱: این دستگاه با قدرت ۳/۶ کیلووات شامل یک موتور ژنراتور و فرستنده جریان از نوع GDDTX2 ساخت کشور کانادا می‌باشد.

تتراهدریت نیز با بلورهای بی‌شکل توده‌ای به داخل اسفالریت توده‌ای نفوذ کرده و نسبت به آن جوانتر می‌باشد. این کانی نقره‌دار به رنگ طوسی با سایه سبز است و از درصد حجمی پایینی برخوردار است. از دیگر کانیهای کانسار پلی‌متال ماہور می‌توان به جیمزسونیت، آرسنوبیریت، کوبانیت و استیبنیت (شکل ۵-۵) F اشاره کرد. در نگاهی کلی پارازنز کانی‌ای کانسار پلی‌متال ماہور در شکل ۴ نشان داده شده است. آنچه که از بررسی مقاطع صیقلی کانسار ماہور قابل درک است، وجود دو فاز عمده کانی‌زایی در این کانسار است، فاز اول با پارازنز پیریت و محلول جامد اسفالریت- کالکوبیریت مشخص است، این فاز نشانگر کانی‌زایی در دمای بالاست. از نشانه‌های این فاز می‌توان به وجود بافت اکسولوشن بین اسفالریت و کالکوبیریت (شکل ۵-۶) G و وجود رنگ خاکستری تیره در اسفالریت که بیانگر وجود FeS در شبکه اسفالریت است، اشاره کرد. فاز دوم نشانه‌هایی از نوعی کانی‌زایی اپی‌ترمال به همراه دارد که در



شکل ۵. A: بافت نواری - متعددالمرکز گوتیت و لیدوکروسویت، B: بافت نواری - متعددالمرکز مالاکیت و هیدروکسیدهای آهن، C: بافت برشی شده پیریت، D: جایگزین شدن کالکوپیریت توسط کوولیت، E: رگه‌چه گالن که بلور تراهدریت را قطع نموده است، F: بلورهای سوزنی و کشیده استیبنیت که بلور اسفالریت را قطع نموده است، G: بافت امولسوئیدی بین اسفالریت و کالکوپیریت، H: کالکوپیریت که توسط یک رگه‌چه گالن قطع شده است. (Gt = گوتیت، Mal = ملاکیت، Py = پیریت، Cpy = کالکوپیریت، Cv = کوولیت، Tet = تراهدریت، Ga = گالن، Sb = استیبنیت، Sph = اسفالریت، Cc = کالکوسیت)

Fig. 5. A: Banded-concentric texture of goethite and lepidocrocite, B: banded-concentric texture of malachite and Fe hydroxides, C: brecciated texture, pyrite, D: chalcopyrite replaced by covellite, E: galena veinlet cut tetrahedrite crystal, F: lamellar stibnite cut sphalerite, G: emulsion texture between sphalerite and chalcopyrite, H: chalcocite is cutted by a galena veinlet. (Gt = Geothite, Mal = Malachite, Py = Pyrite, Cpy = Chalcopyrite, Cv = Covellite, Tet = Tetrahedrite, Ga = Galena, Sb = Stibnite, Sph = Sphalerite, Cc = Chalcocite)

A بالاتر بوده (19.0 mv/v) که احتمالاً به علت گسترش کانه‌زایی به صورت پیریت پراکنده می‌باشد. به طور کلی آنچه در این نقشه ملاحظه می‌گردد گسترش بی‌هنجری IP به صورت افقی بوده و ابعاد آن در دو بعد مورد بررسی قرار گرفته است. لذا جهت بررسی بعد دیگر آن یعنی عمق بی‌هنجری و چگونگی قرار گرفتن آن و همچنین تعیین نقاط حفاری اکتشافی اقدام به انجام 4 شبیه مقطع با آرایش قطبی- دوقطبی (PD-1 الی PD-4) نموده که مورد بررسی قرار می‌گیرند.

پروفیل-1 در بخش شمال شرق محدوده مورد مطالعه، عمود بر روند کانی زایی در زون A اندازه‌گیری شده است. این پروفیل با طول تقریبی 900 متر و با فواصل الکترودی 40 متر جهت بررسی احتمالی کانی‌زایی و گسترش آن در اعمق مختلف طراحی و برداشت گردید. جهت دسترسی به اطلاعات از سطح تا عمق 300 متری، از آرایش قطبی- دوقطبی با فواصل الکترود پتانسیل 40 متر و الکترود حریان با پرشهای 20 متر (جهت کنترل بیشتر بی‌هنجریها) استفاده شده است. نتایج داده‌های خام با استفاده از نرم‌افزار Res2dinv مدل‌سازی و شبیه‌سازی شده است. پروفیل PD-1 در راستای تقریبی شرقی- غربی اندازه‌گیری شده است. با بررسیهای پهعمل آمده از سمت شرق به غرب در مدل بارپذیری (شکل 7) وجود یک زون بی‌هنجری IP تأیید می‌گردد که با روند گسل اصلی محدوده مورد مطالعه مطابقت دارد. در این پروفیل ناهنجاری شارژabilite به میزان 34 msec در فاصله 680325 تا 680380 متری و در عمق (770m) 80 متر مشاهده می‌شود. این ناهنجاری می‌تواند به دلیل وجود کانیهای سولفیدی در این محل باشد. این زون در مدل مقاومت ویژه تبدیل به دو محدوده مقاومت ویژه بالا و یک بخش کم مقاومت می‌شود زون با مقاومت بالا از فاصله 680180 تا 680230 در عمق (710m) 90 متری و به میزان 105 ohm.m ثبت شده است بر اساس مشاهدات صحرایی این زون بر واحدهای داسیتی رخنمون یافته در شرق گسل ماهور منطبق است، در دو فاصله 680340 تا 680350 و 680435 تا 680460 نیز دو زون کم مقاومتر وجود دارد، زون کم مقاومت اول در سطح به (770m) 65 متری رسد، زون کم مقاومت دوم در عمق 80 ohm.m 80 متری به میزان 80 ohm.m در شرق گسل ماهور واقع است.

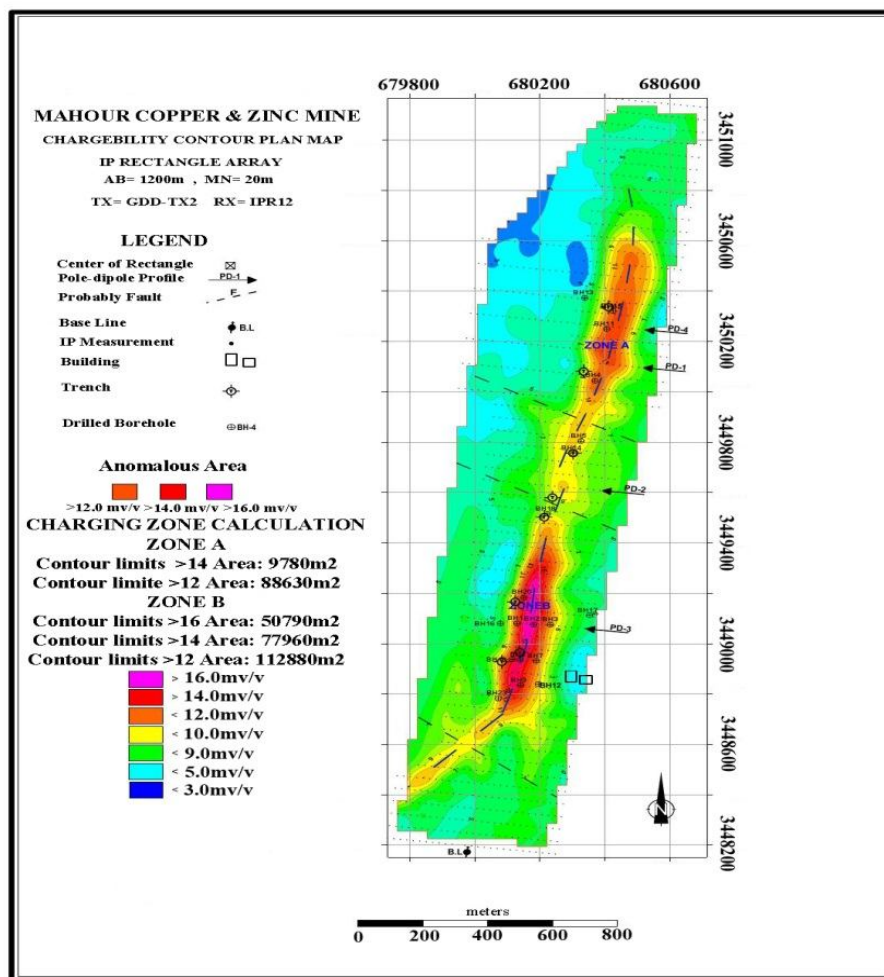
موتور ژنراتور جریانی با ولتاژ 240 ولت به فرستنده می‌دهد و فرستنده می‌تواند آن را تا 2400 ولت تقویت نموده و در فاصله زمانی 8-4 ثانیه توسط الکتروودها به زمین ارسال و به طور خودکار قطع و وصل نماید.

دستگاه گیرنده جریان²: این دستگاه از نوع IPR-12 مقدار پتانسیل تولید شده (V) در زمین را حین فرستادن جریان و نسبت انترگال منحنی دشارژ را به پتانسیل اولیه در فاصله زمانی در حدود 130-195 میلی ثانیه بعد از قطع جریان، اندازه‌گیری می‌نماید. پارامترهای معمول V_p (ولتاژ اولیه)، M (بارپذیری) و SP (پتانسیل خودزا) با این دستگاه قابل اندازه‌گیری هستند.

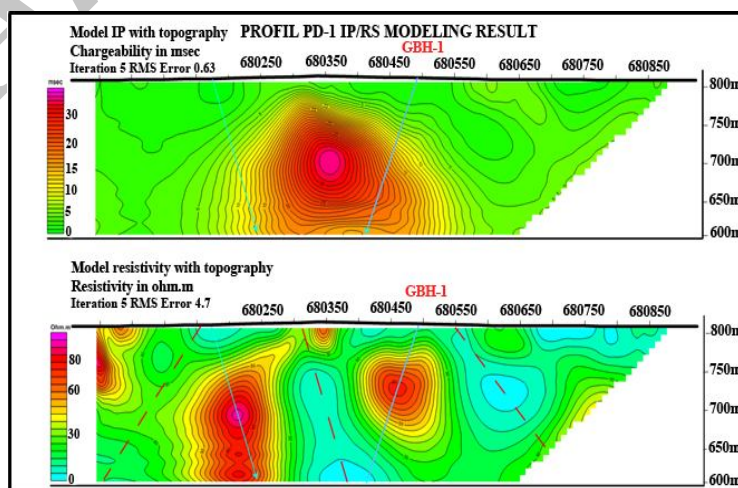
در محدوده مورد نظر به منظور بررسی گسترش کانه‌زایی در اعمق تا حدود 300 متر، آرایش مستطیلی با طول خط جریان $= 1200$ متر و فواصل الکترودی MN برابر با 20 متر طراحی و اندازه‌گیری شد. شایان ذکر است که در آرایش مستطیلی عمق نفوذ بستگی به عوامل مختلفی از قبیل توپوگرافی و مورفولوژی منطقه، اختلاف الکتروودهای جریان (در یک سطح نبودن ارتفاع آنها) و وجود گسلهای عمیق دارد. موقعیت چهارگوش نقاط برداشت IP/RS بر روی نقشه زمین‌شناسی (شکل 2) جانمایی شده است.

با استفاده از داده‌های حاصل از بررسیهای صحرایی و آزمایشگاهی صورت گرفته بر روی گسترده کانسار ماهور، خط مبنيای مطالعات ژئوفیزیکی شمال‌شرق- جنوب‌غرب (N 7° E) هم روند با رگه معدنی و پروفیل‌ها عمود بر این روند طراحی شده‌اند. همان‌طوری که از بررسی نقشه بارپذیری (شکل 6) بر می‌آید از سمت جنوب به شمال روش IP وجود دو زون بی‌هنجری در شمال شرق و دیگری در جنوب غرب محدوده را به طور وضوح نشان می‌دهد. روند این زون‌ها شمال شرق- جنوب غرب می‌باشد. زون‌ها به ترتیب اهمیت و وسعت با علامت A و B مشخص شده‌اند. زون A در بخش شمال شرق محدوده قرار گرفته و از نظر بی‌هنجری IP حائز اهمیت است. روند این زون شمال شرق- جنوب غرب بوده و وسعت آن به 30 هکتار می‌رسد.

زون B در بخش جنوب غربی محدوده کانسار قرار گرفته و از روند شمال شرق- جنوب غرب برخوردار بوده و وسعت آن به 20 هکتار می‌رسد. شدت بارپذیری این زون در مقایسه با زون



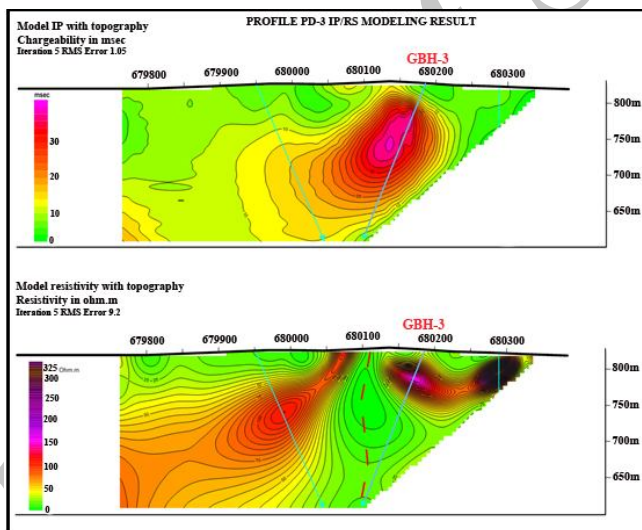
شکل 6. نقشه بارپذیری کانسار ماهور
Fig. 6. Chargeability map of Mahour ore deposit



شکل 7. شبیه مقطع IP/RS برای پروفیل PD-1 در کانسار ماهور
Fig. 7. IP/RS pseudo-section for profile PD-1 at the Mahour ore deposit

اعماق 150 متری ادامه دارد و از شدت بارپذیری بالایی برخوردار است. ناهنجاریهای شارژabilite در فاصله 680100 تا 680170 680170 متری در عمق (775m) 75 متری به میزان msec 40 می‌رسد. این ناهنجاریها در فاصله 680140 680140 متری به سطح می‌رسد، که می‌تواند به دلیل وجود کانیهای سولفیدی و اکسیدی به خصوص پیریت در این محل باشد. این بی‌نهنجاری PD-3 در مدل مقاومت ویژه به مانند بی‌نهنجاری زون A (پروفیل 1) تبدیل به دو محدوده مقاومت ویژه بالا و یک بخش کم مقاومت می‌شود. مقاومت ویژه بالا از فاصله 680250 تا 680320 680320 متری از سطح تا عمق (750m) 60 متری قرار دارد. که به میزان 350 ohm.m می‌رسد. زون کم مقاومت‌تر در فاصله 680025 تا 680025 680025 متری در عمق (760m) 80 متری به میزان 125 ohm.m می‌باشد.

چنین استنباط می‌شود که بخش کم مقاومت می‌تواند مربوط به یک زون بهشت خرد شده و گسلی احتمالی و بخش‌های با مقاومت ویژه بالاتر مرتبط به بخش‌های کمتر خرد شده باشد. پروفیل PD-3 در بخش جنوبی محدوده مورد مطالعه، عمود بر زون کانه‌زایی و در زون B واقع است. این پروفیل با طول تقریبی 650 متر و با فواصل الکترودی 40 متر جهت بررسی احتمالی کانه‌زایی و گسترش آن در اعماق مختلف طراحی و برداشت گردید. پروفیل PD-3 به موازات پروفیل PD-1 و در راستای تقریبی شرقی - غربی مورد برداشت قرار گرفته است. با بررسیهای به عمل آمده از سمت شرق به غرب در مدل بارپذیری (شکل 8) وجود یک زون بی‌نهنجاری IP تأیید می‌گردد که با روند گسل اصلی محدوده مورد مطالعه مطابقت دارد. این بی‌نهنجاری از عمق نزدیک به سطح زمین شروع و تا



شکل 8. شبیه مقطع IP/RS برای پروفیل PD-3 در کانسار ماهور

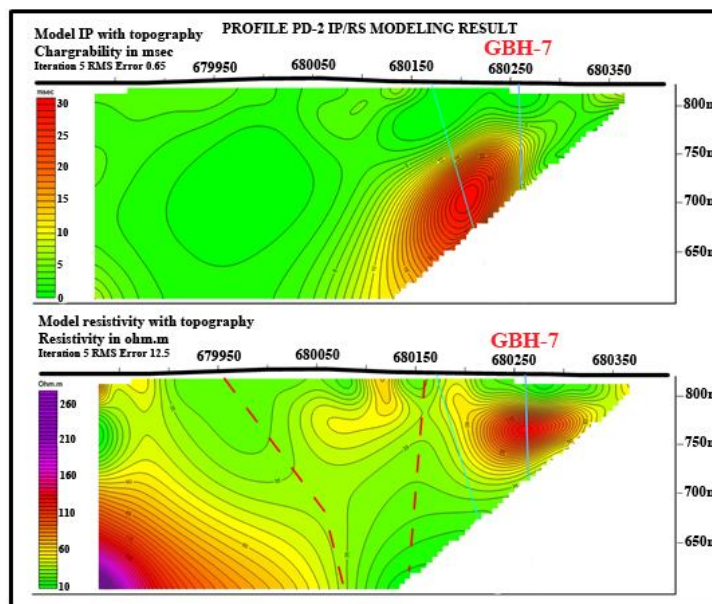
Fig. 8. IP/RS pseudo-section for profile PD-3 at the Mahour ore deposit

در عمق تقریبی 80 متری از زمین به میزان 30mscc در ثبت رسیده و از گسترش عمقی زیاد برخوردار نمی‌باشد. در مدل مقاومت ویژه، محل بی‌نهنجاری بارپذیری بر روی بخش مقاوم¹ منطبق بوده و همان‌طوری که ملاحظه می‌گردد شیب بی‌نهنجاری قائم و کمی به طرف شرق متمایل است. پروفیل PD-4 در بخش شمال شرق محدوده مورد مطالعه بر روی زون A به موازات پروفیل PD-1 و به فاصله 150 متری در طول تقریبی 800 متر و با فواصل الکترودی 40 متر طراحی و اندازه‌گیری شد. این پروفیل به موازات پروفیل PD-1 و در

پروفیل PD-2 در بخش مرکزی محدوده معدن در حد فاصل زون A و زون B جهت بررسی وجود و یا عدم کانه‌زایی به طول تقریبی 550 متر و با فواصل الکترودی 40 متر طراحی و اندازه‌گیری شد. این پروفیل نیز به موازات پروفیل PD-1 و در راستای تقریبی شرقی - غربی برداشت شده است. با بررسیهای به عمل آمده از سمت شرق به غرب در مدل بارپذیری (شکل 9) وجود یک زون بی‌نهنجاری IP کم عمق تأیید می‌گردد که با روند گسل اصلی محدوده معدن مطابقت کامل را نشان می‌دهد. این بی‌نهنجاری در فاصله 680170 تا 680220 680220 متری

می‌گردد که با روند گسل اصلی محدوده معدن مطابقت کامل را نشان می‌دهد.

راستای تقریبی شرقی - غربی اندازه‌گیری شده است. بررسیهای به عمل آمده از سمت شرق به غرب در مدل بارپذیری (شکل 10) وجود یک زون بی‌هنجری IP تأیید

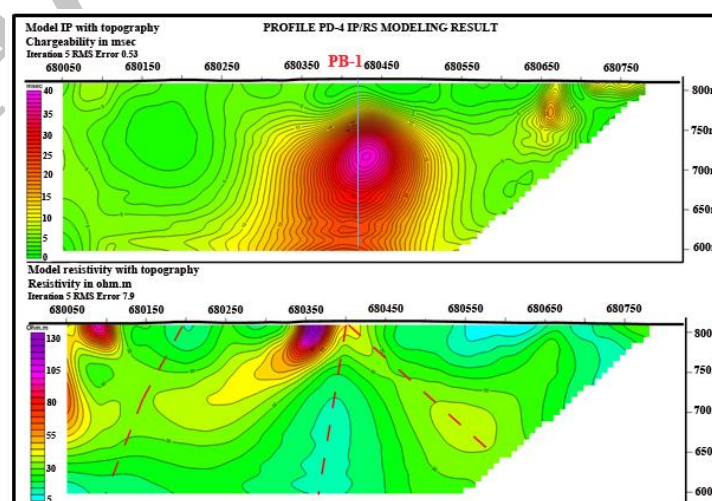


شکل 9. شبیه مقطع IP/RS برای پروفیل PD-2 در کانسار ماهور

Fig. 9. IP/RS pseudo-section for profile PD-2 at the Mahour ore deposit

این بی‌هنجری در فاصله 680370 تا 680350 متری نزدیک به سطح زمین به میزان 130_{ohm.m} رسید، زون کم مقاومت در فاصله 680085 تا 680100 متری به میزان 100_{ohm.m} در نزدیکی سطح زمین ثبت شده است. شبیب بی‌هنجری به سمت غرب متتمایل است.

این بی‌هنجری در فاصله 680450 تا 680400 متری در عمق 70 متر به میزان 40_{msc} ثبت شده است. این زون در مدل مقاومت ویژه تبدیل به دو محدوده مقاومت ویژه بالا و یک بخش کم مقاومت می‌شود. مقاومت ویژه بالا در فاصله

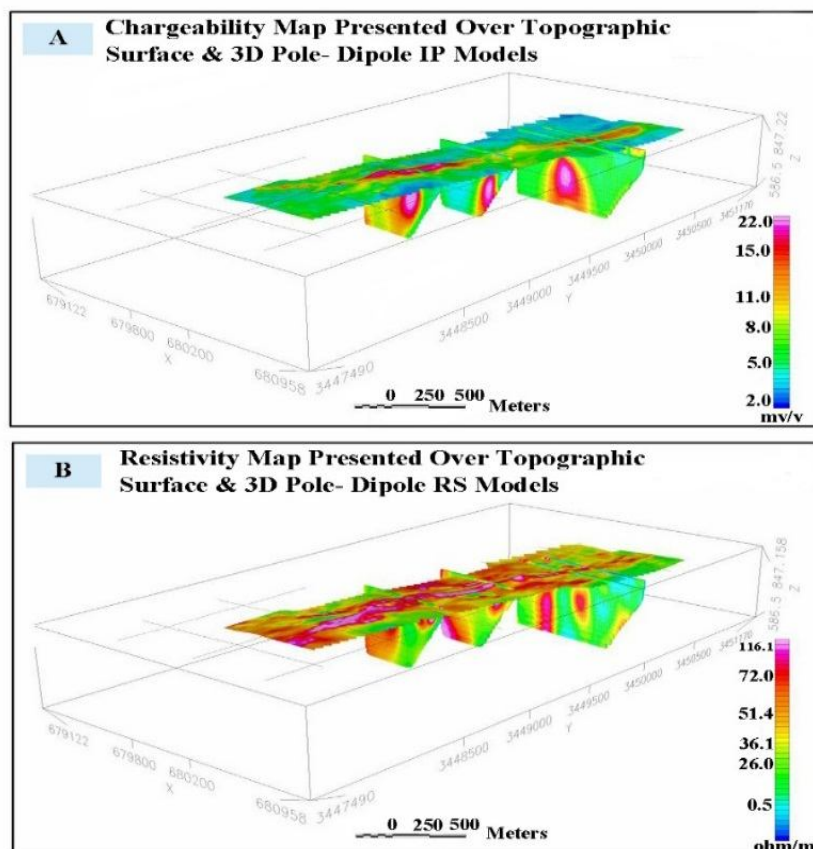


شکل 10. شبیه مقطع IP/RS برای پروفیل PD-4 در کانسار ماهور

Fig. 10. IP/RS pseudo-section for profile PD-4 at the Mahour ore deposit

داده شده است، همان‌گونه که ملاحظه می‌شود نتایج حاصل یکدیگر را تأیید می‌نمایند.

در (شکل‌های 11-A و 11-B) تلفیق و مقایسه نتایج مطالعات ژئوفیزیکی به روش IP/RS به صورت سه بعدی نشان



شکل 11. A: نمایش سه بعدی نقشه بارپذیری همراه با شبکه مقاطع IP کانسار ماهور، B: نمایش سه بعدی نقشه مقاومت ویژه ظاهری همراه با مدل‌های مقاومت ویژه مقاطع منطقه ماهور

Fig. 11. A: Showing 3D map of chargeability associated with pseudo-section IP at the Mahour ore deposit, B: Showing 3D map of resistivity associated with pseudo-section RS at the Mahour ore deposit

نظرگرفتن حد زمینه معادن اطراف کانسار ماهور از قبیل معدن قلعه زری، معدن سرب کویران و معدن چاه کلب بارپذیری با شدت $9/0 \text{ mV/V}$ در این محدوده به عنوان حد زمینه محسوب شده و با رنگ زرد در نقشه بارپذیری مشخص شده است. مقاومت ویژه ظاهری در محدوده مورد مطالعه از شمال شرق به جنوب غرب افزایش داشته و میزان آن از 20 اهم متر تا 220 اهم متر متغیر است. میزان مقاومت ویژه در زونهای خردشده و گسله از زونهای کمتر خرد شده قدری پایین‌تر است.

به طور کلی آنچه که از مطالعات ژئوفیزیکی انجام شده قابل درک است، حاکی از آن است که کانی‌زاییها در ارتباط نزدیک با زون‌های گسله و بهشت خرد شده است، به این مفهوم که کانی‌زایی به صورت رگه و رگه‌چه، استوک ورک و شکافه پرکن در زون‌های خرد شده با ضخامت متفاوت حضور دارد. طبق مطالعات انجام شده شدت بارپذیری در محدوده مورد مطالعه از شمال شرق به جنوب غرب از روند افزایشی برخوردار بوده، حداقل شدت بارپذیری اندازه‌گیری شده ($19/0 \text{ mV/V}$) با رنگ بنفش سیر و حداقل شدت اندازه‌گیری ($0/6 \text{ mV/V}$) با رنگ آبی سیر بر روی نقشه بارپذیری نشان داده شده است. با در

۱ و PD-1 (جدول ۱) جهت بررسی بیشتر انتخاب شده است. پس از مطالعه دقیق مغذه‌ها، نمودار چاهنگاری آنها ترسیم شد. در ادامه از کل متراژ حفاری شده در فواصل ۱ متری از مغذه‌ها نمونه‌برداری شد که در قالب پروژه اکتشاف معدن پلی‌متال ماهر توسط شرکت تحقیق و گسترش صنایع معدنی پارس کانی مورد تجزیه قرار گرفت.

چاهنگاری

همان‌طور که در بخش‌های قبل به تفصیل توضیح داده شد، برداشت‌های ژئوفیزیکی (IP) دو زون بی‌نهنجاری را در شمال شرق (زون A) و جنوب شرق (زون B) محدوده ثبت نموده است. بر اساس داده‌های ژئوفیزیکی و داده‌های حاصل از بررسیهای صحرایی تعدادی گمانه در هر دو زون یاد شده حفر گردیده شده است. که از این میان با توجه به حوصله این نوشتار ۶ گمانه GBH-1، GBH-3، GBH-7، PA-1، PB-

جدول ۱. موقعیت و مشخصات نقاط حفاری در کانسار ماهور

Table 1. Location and characteristic of borehole points at the Mahour ore deposit

| BH.Code | Coordinate | | | Azimuth | Dip | Deep |
|---------|-------------|-------------|-----|---------|-----|--------|
| | Longitude | Latitude | Z | | | |
| PA-1 | 58° 53' 36" | 31° 10' 25" | 843 | N270° | 80° | 242.32 |
| PB-1 | 58° 53' 35" | 31° 10' 21" | 822 | N270° | 80° | 201.53 |
| PD-1 | 58° 53' 37" | 31° 10' 23" | 826 | 0 | 90° | 391.95 |
| GBH-1 | 58° 53' 38" | 31° 10' 15" | 829 | N280° | 70° | 288.45 |
| GBH-3 | 58° 53' 26" | 31° 09' 42" | 840 | N280° | 70° | 221 |
| GBH-7 | 58° 53' 28" | 31° 10' 00" | 833 | 0 | 90° | 302.55 |

PD-2 (شکل ۹)، وجود یک ناهنجاری IP به همراه یک زون با مقاومت ویژه کم منطبق بر آن در عمق تقریبی 60 متری، در محل گمانه پیشنهادی GBH-7 مشهود است. جهت کنترل این ناهنجاریها و ارتباط آن با کانی‌زایی، بر روی این پروفیل گمانه GBH-7 حفر شد. مطالعه مغذه‌های این گمانه پروفیل در بازه 57-65 و 20-32 در این گمانه دارای نشان داد که دو بازه 57 و 65 در این گمانه دارای بیشترین ناهنجاری عناصر است. همان‌طور که ملاحظه می‌شود بازه‌های دارای کانی‌زایی منطبق بر ناهنجاریهای مشخص در پروفیل PD-2 می‌باشد. نتایج حاصل از مطالعه چاهنگاری این بازه‌ها در (شکل 13-A) نشان داده شده است. شبه مقطع IP/RS پروفیل در محل گمانه پیشنهادی GBH-3 در عمق تقریبی 80 متری وجود یک زون بی‌نهنجاری IP را تأیید می‌کند، این بی‌نهنجاری تا عمق 140 متری ادامه دارد. با توجه به مدل مقاومت ویژه، این بی‌نهنجاری بر روی بخش مقاوم منطبق است. بررسی مغذه‌های گمانه GBH-3 حاکی از وجود دو بازه با بیشترین بی‌نهنجاری عناصر است، بازه اول در عمق 20-40 متری و بازه دوم در عمق 133-152 متری قرار دارد. با مقایسه شبه مقطع

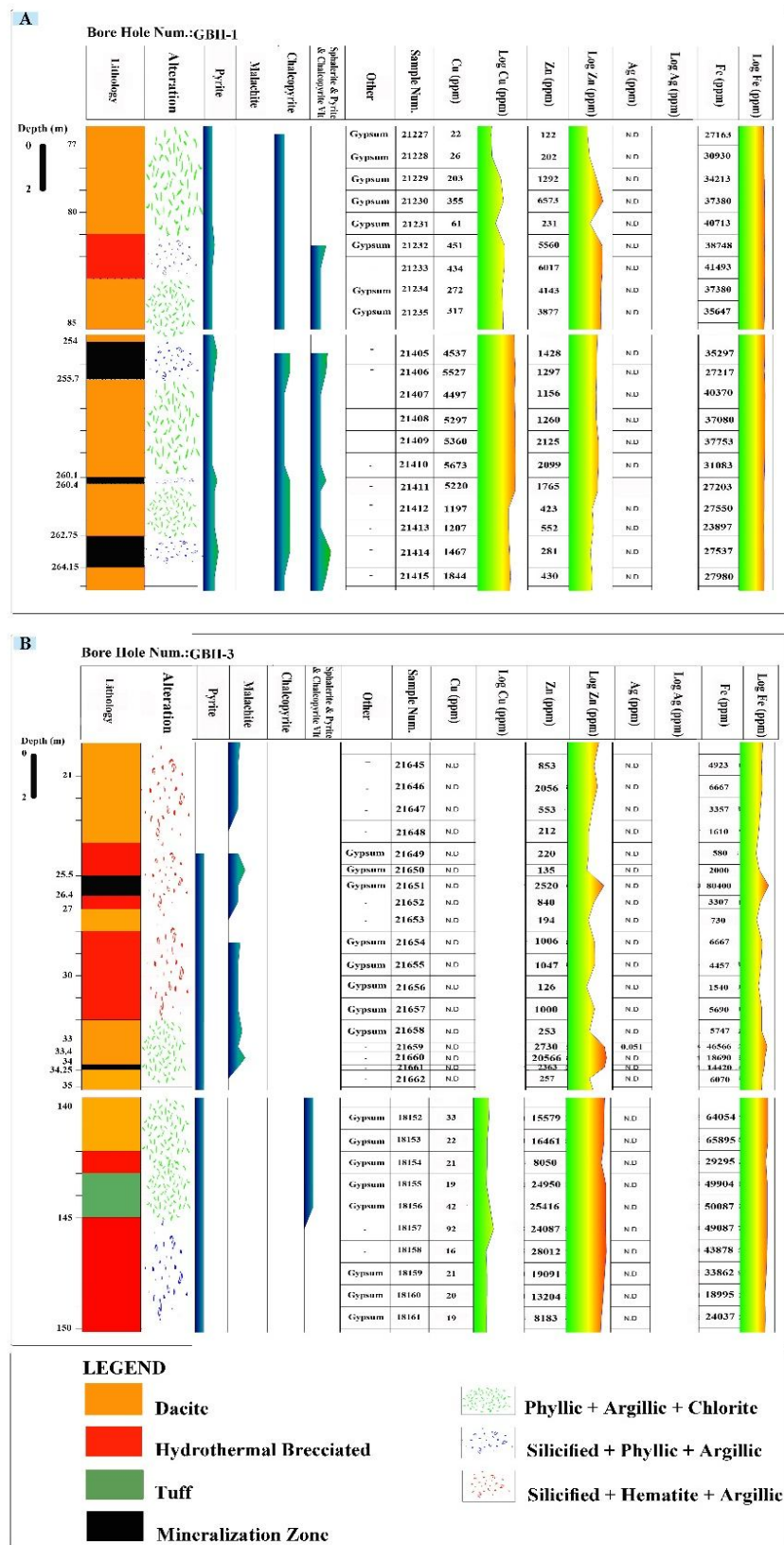
GBH-1 بررسی نتایج حاصل از مطالعه دقیق مغذه‌های گمانه GBH-1 حاکی از وجود دو بازه 78-92 و 281-246 متری دارای بیشترین میزان ناهنجاری عناصر می‌باشد. همان‌طور که در شبه مقطع IP/RS پروفیل (شکل 7) قابل مشاهده است، در محل گمانه پیشنهادی GBH-1 از عمق تقریبی 80 متری ناهنجاری شارژabilite مشهود است، که با افزایش عمق همچنان ادامه دارد. این ناهنجاری با توجه به محدود بودن طول پروفیل قابل پیگیری نیست. مقاومت ویژه نیز در این پروفیل دارای دو بخش زون با مقاومت ویژه بالا و زون با مقاومت ویژه کم می‌باشد. در محل گمانه پیشنهادی GBH-1 در عمق تقریبی 80 متری یک زون با مقاومت ویژه کم مشهود است. بر اساس نتایج حاصل از مطالعه مغذه‌های گمانه GBH-1، بازه کانی‌زایی اول (92-78 متری) بر ناهنجاری یاد شده تأکید می‌کند. با توجه به این که ناهنجاری شارژabilite در جهت عمق ادامه داشته است، حفاری این گمانه تا عمق 288/45 متری ادامه یافت، بررسی مغذه‌ها حاکی از وجود ناهنجاری دیگری از عناصر در بازه (281-246 متری) است (شکل 12-A). با توجه به شبه مقطع IP/RS پروفیل

سابولکانیک با روندی شمالی - جنوبی در منطقه نمود دارد. رگه‌های کانی‌سازی با روند NNE-SSW و شیب 80 تا 90 درجه به سمت شرق دیده می‌شوند. کانیهای اولیه شامل پیریت، کالکوپیریت، اسفالریت، گالن، تتراهردیت، کوارتز و کانیهای ثانویه مالاکیت، آتاکامیت، آزوریت و گوتیت است. ناهنجاریهای بالایی از عناصر مس (تا 60417 ppm)، روی (تا 250438 ppm) و نقره (تا 1988 ppm) در محدوده مورد مطالعه نمود دارد. برداشت‌های IP/RS به منظور تعیین موقعیت و گسترش کانی‌سازی سولفیدی و اکسیدی در عمق انجام شد. با استفاده از داده‌های حاصل از بررسیهای صحرایی و آزمایشگاهی صورت گرفته بر روی گستره کانسار ماهور، خط مبنای مطالعات ژئوفیزیکی شمال‌شرق - جنوب‌غرب (N 7° E) هم روند با رگه معدنی و پروفیل‌ها عمود بر این روند طراحی شده‌اند. مقدار شارژabilite به 40msc می‌رسد که حاکی از وجود سولفید و کانیهای فلزات پایه در منطقه است. در کانسار ماهور دو زون مقاومت ویژه بالا و کم قابل تشخیص است. زون مقاومت ویژه بالا تا 350 $\Omega\text{hm.m}$ در شبے مقاطع، مرتبط با زونهای کمتر خردشده می‌باشد. زون دارای مقاومت ویژه کمتر در ارتباط با زونهای به شدت خرد شده می‌باشد. به‌طور کلی برداشت‌های شارژabilite در منطقه ماهور وجود دو زون بی‌هنجاری در شمال شرق و دیگری در جنوب غرب محدوده را به وضوح نشان می‌دهد. مطالعه مغزه‌ها نشان داد آلتراسیون کوارتز + سرسیت + پیریت + کلریت مهمترین آلتراسیون و در ارتباط با زون کانی‌سازی می‌باشد. بر اساس نتایج آنالیز ژئوشیمیایی در چاه GBH-1 دو بازه 78-92 و 246-281 متری دارای بیشترین میزان ناهنجاری عناصر می‌باشند. در گمانه-3 GBH-3 نیز دو بازه 40-40 و 133-152 متری بیشترین ناهنجاری عناصر را داراست. گمانه-7 در بازه های 20-32 و 57-65 متری دارای کانی‌زایی می‌باشد. در چاه-1 PB-1 دو بازه 85 تا 94 متری و 133 تا 140 متری دارای بیشترین میزان ناهنجاری عناصر می‌باشند. در چاه-1 PD-1 در بازه‌های 50-55 و 298-301 متری 360 و 365 تا 365 متری بیشترین میزان ناهنجاری عناصر مشاهده شده است. در چاه-1 PA-1 در بازه‌های 48-48 و 152-161 و 212-218 متری دارای بیشترین میزان ناهنجاری عناصر می‌باشد.

پروفیل PD-3 با نمودار چاهنگاری ترسیم شده برای گمانه GBH-3 (شکل 12-B) انطباق بی‌هنجاری IP و مقاومت ویژه با بازه‌های حاوی بیشترین مقدار کانی‌زایی قابل درک است. شبه مقطع IP/RS پروفیل 4 PD-4 نیز وجود یک زون بی‌هنجاری IP را در عمق تقریبی 70 متری تأیید می‌کند. این بی‌هنجاری با افزایش عمق همچنان ادامه دارد. مطالعه مغزه‌های گمانه-1 PB-1 دو بازه 85 تا 94 متری و 133 تا 140 متری دارای بیشترین میزان ناهنجاری عناصر می‌باشد. لازم به ذکر است که بی‌هنجاری عناصر در این گمانه با شدت کمتر از 140 تا 191 متر ادامه دارد. در این گمانه نیز مقایسه شبه مقطع با نمودار چاهنگاری ترسیم شده (شکل 13-B) انطباق بی‌هنجاری IP با بازه‌های حاوی بیشترین مقدار کانی‌زایی مشهود است. با توجه به نتایج مطلوب به دست آمده از حفاری گمانه-1 PB-1 و بررسیهای زمین‌شناسی در فواصل 50 و 100 متری شمال این گمانه و در امتداد بی‌هنجاری IP پروفیل 4 PD-4 دو گمانه-1 PA-1 و 140 تا 191 متری حفر شده است. نتایج حاصل از بررسی مغزه‌های این دو گمانه نشان داد که بیشترین میزان ناهنجاری عناصر در چاه-1 PD-1 (شکل 14-B) در بازه‌های 50-55 و 298-301 متری 360 تا 365 متری و در چاه-1 PA-1 (شکل 14-A) در بازه‌های 48-48 و 152-161 و 212-218 می‌باشد. با مقایسه این دو گمانه با شبه مقطع PD-4 و گمانه-1 PB-1 بازه‌های حاوی بیشترین مقدار بی‌هنجاری عناصر منطبق بر بی‌هنجاری IP و بازه‌های حاوی کانی‌زایی گمانه-1 PB-1 می‌باشد. در هر 6 چاه انطباق خوبی بین کانی‌زایی و آلتراسیون کلریتی - فیلیک - سیلیسی و هماتیتی وجود دارد. بیشترین تراکم رگه‌چه‌ها در مغزه‌ها منطبق با بالاترین ناهنجاریهای ژئوشیمیایی و مناطق دارای بیشترین گسترش آلتراسیون می‌باشد.

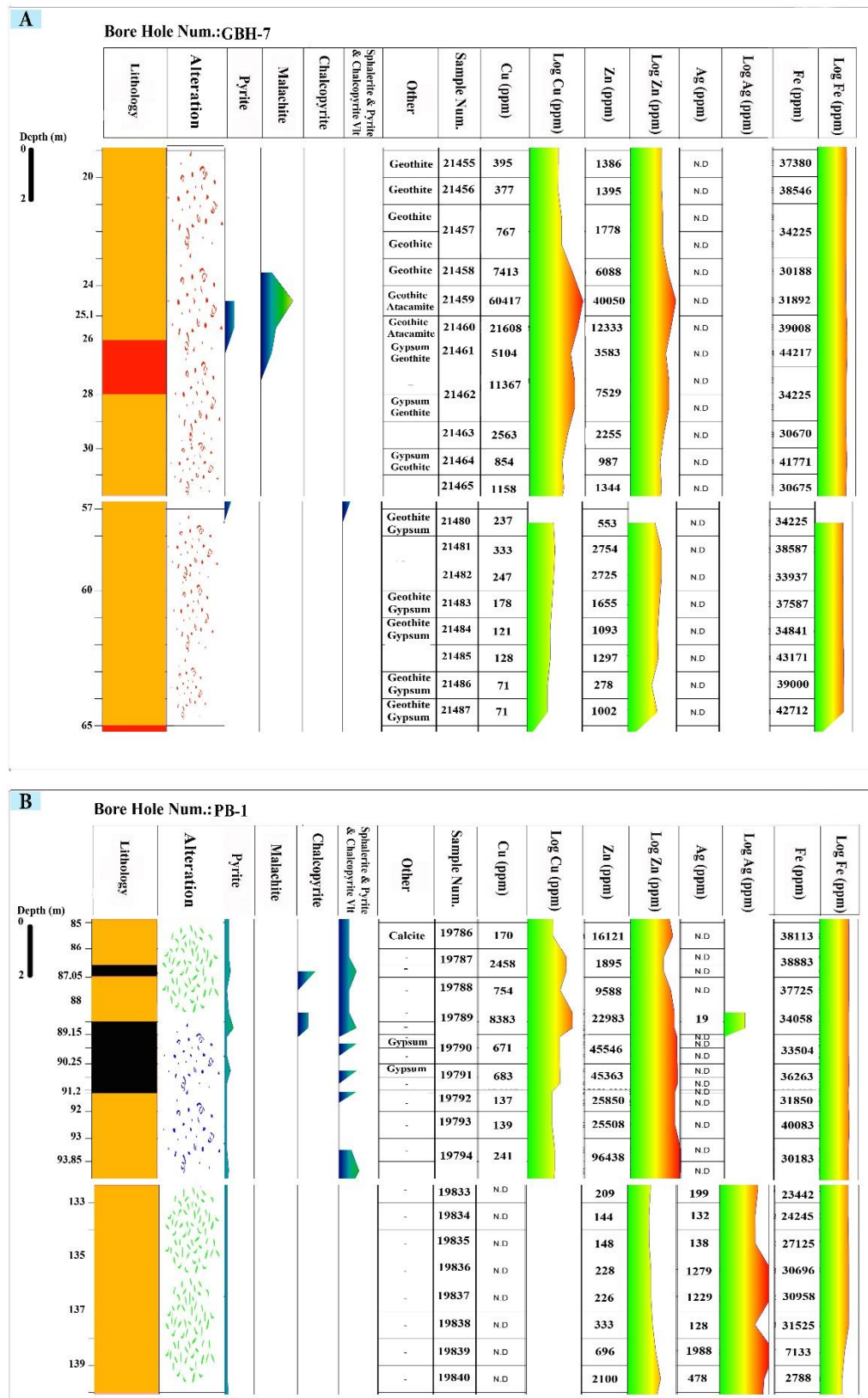
نتیجه‌گیری

محدوده مورد مطالعه بخشی از گستره آتشفسانی دوران سنوزئیک کویرلوت است. سنگ‌شناسی منطقه ماهور مشتمل بر بازالت، آندزیت، داسیت، ریولیت و آذرآوریه است. این مجموعه در اوسن پابانی - الیگوسن زیرین مورد هجمه توده‌های دیوریتی تا گرانودیوریتی قرار گرفته است. میزان رگه‌های معدنی رخنمون یافته در کانسار ماهور مجموعه داسیتی است که به صورت سنگهای آتشفسانی و گاهی



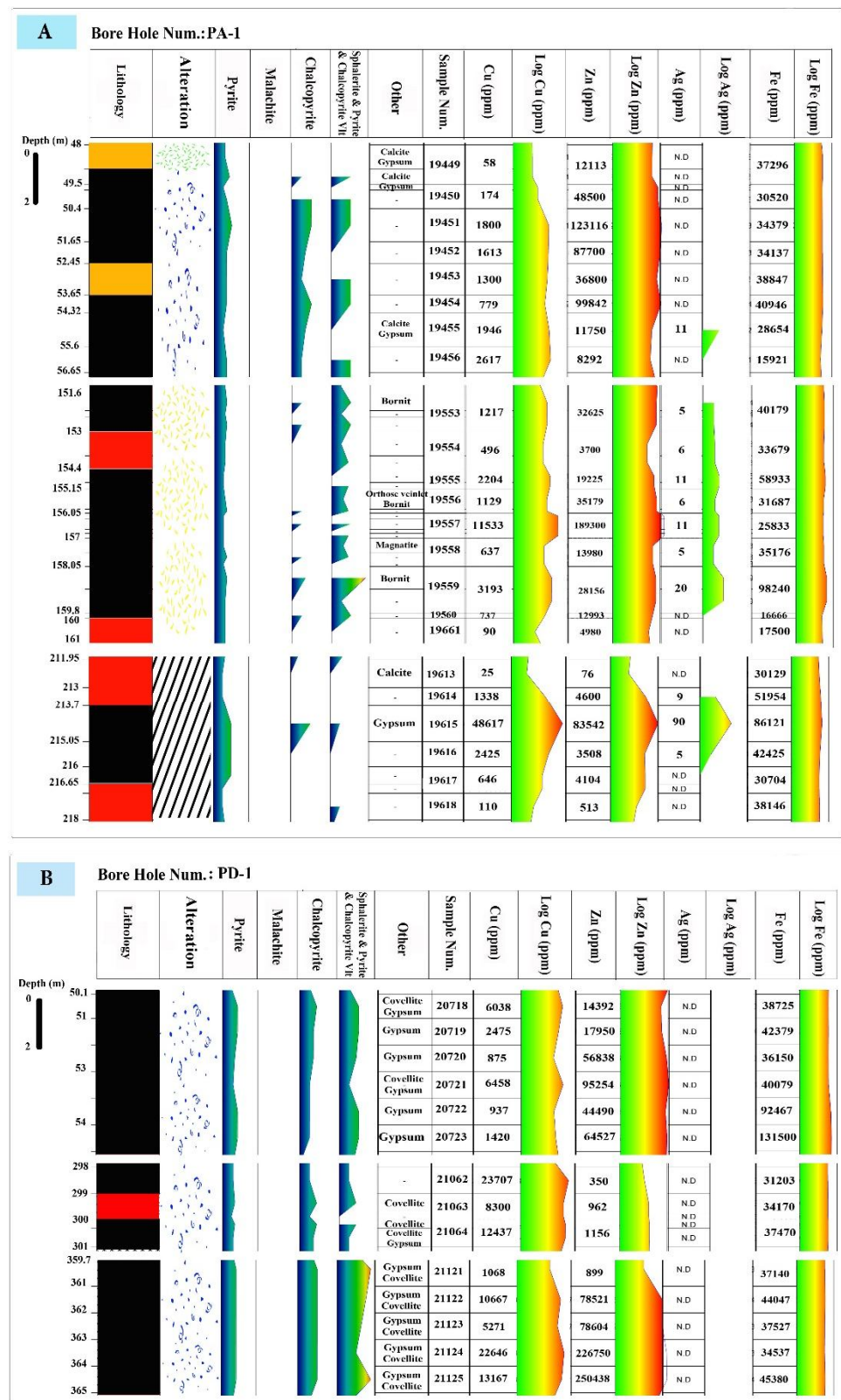
شکل 12. A: نمودار چاهنگاری گمانه GBH-1 (کانسار ماهور)، B: نمودار چاهنگاری گمانه GBH-3 (کانسار ماهور)

Fig. 12. A: Logging diagram of borehole GBH-1 (Mahour ore deposit), B: Logging diagram of borehole GBH-3 (Mahour ore deposit)



شکل 13: A: نمودار چانگاری گمانه 7 GBH (کانسار ماهور)، B: نمودار چانگاری گمانه 1- PB (کانسار ماهور) (علایم همانند شکل 12)

Fig. 13. Logging diagram of borehole GBH-7 (Mahour ore deposit), B: Logging diagram of borehole PB-1 (Mahour ore deposit) (symbols as in Fig. 12)



شکل A.14: نمودار چاهنگاری گمانه-1 PA (کانسار ماهور)، B: نمودار چاهنگاری گمانه-1 PD (کانسار ماهور) (علایم همانند شکل 12)

Fig. 14. A: Logging diagram of borehole PA-1 (Mahour ore deposit), B: Logging diagram of borehole PD-1 (Mahour ore deposit) (symbols as in Fig. 12)

References

- Aghanabati, A., 2004. Geology of Iran. Ministry of industry and mine geological survey of Iran, Tehran, 606 pp.
- Berberian, M., 1981. Active faulting and tectonics of Iran. In: H.K. Gupta and F.M. Delany (Editors), Zagros-Hindu Kush-Himalaya geodynamic evolution. American Geophysical Union Geodynamic Series, Washington D.C., pp. 33-69.
- Esdale, D.J., Pridmore, D.F., Coggen, J.H., Muir, P.M., Williams, P.K. and Fritz, F.P., 1987. Olympic Dam deposite- Geophysical case history. Journal of the Australian Society of Exploration Geophysics, 18(2): 47- 49.
- Griffs, R., Meixner, H., Johns, G., Abedian, N., Behruzi, A., Nazer, N., Hamzehpour, B., Shahriari, S., Sahandi, M.R., Mohajel, M., Berberian, M. and Soheili, M., 1992. Geological map of Deh-salm(Chahvak), scale 1:250000. Geological Survey of Iran.
- Guilbert, J.M. and Park, C.F. (translated by Alirazai, S.), 2010. The geology of ore deposits. Amirkabir Press, Tehran, 966 pp.
- Guo, W., Dentith, M. and Zhao, Y., 2000. Geophysical exploration in the Xi-cheng Lead-Zinc Ore field Gansu province, China. Journal of the Australian Society of Exploration Geophysics, 31(2): 243-247.
- Haghipour, A. and Aghanabati, A., 1989. Geological map of Iran(2nd edition), scale 1:2500000. Geological Survey of Iran.
- Hajimirzajan, H., Karimpour, M.H., Malekzadeh, A., Hydariyan, M. and Hamoni, J., 2013. Compiling data from Geological, Mineralogical, Geochemical and Geophysical (IP/RS, Ground magnetometer) studies on Roudgaz area, SE Gonabad, Khorasan Razavi province. Journal of Economic Geology, 5(1): 117-136. (in persian)
- Jackson, J. and Mckenzie, D., 1984. Active tectonics of the Alpine- Himalaya belt between western Turkey and Pakistan. Geophysical Journal of the Royal Astronomical Society, 77(1): 185-264.
- Lzawa, E., Urashima, Y., Lbaraki, K., Suzuki, R., Yokoyama, T., Kawasaki, K., Koga, A. and Taguchi, S., 1990. The Hishikari Gold deposite: Highgrade epithermal veins in Quaternary volcanics of Southern Kyushu, Japan. Journal of Geochemical Exploration, 36(1): 1-56.
- Mirzaei Rayni, R., Ahmadi, A. and Mirnejad, H., 2012a. The origin of ore-forming fluids in the Mahour polymetal ore deposit, using electron microprobe data and sulfur isotopes, East of Lut block, Central Iran. Journal of Petrology, 3(10): 1-12. (in Persian with English abstract)
- Mirzaei Rayni, R., Ahmadi, A. and Mirnejad, H., 2012b. Study of mineralogy and fluid inclusions in the Mahour polymetal ore deposit, East of Lut block, Central Iran. Iranian Journal of Crystallography and Mineralogy, 20(2): 307-318.(in Persian)
- Okada, K., 1995. Geophysical exploration for epithermal gold deposits: Case studies from the Hishikari gold mine, Kagoshima, Japan. Journal of the Australian Society of Exploration Geophysics, 26(3): 78- 83.
- Okada, K., 2000. Geophysical exploration of Hishikari gold mine, Kagoshima, Japan. Journal of the Leading Edge, 19(7): 744-750.
- Rutley, A., Oldenburg, D.W. and Shekhtman, R., 2001. 2-D and 3-D IP/resistivity inversion for the interpretation of Isa-style targets. Journal of the Australian Society of Exploration Geophysics, 32(4): 156-159.
- Sform, M., Biyabangard, H., Bomary, M., Zarinkoub, M.H., Mehran, M. and Ebrahimi, V., 2012. Geochemistry and petrology of volcanic rocks Mahoor copper deposit, North West Nehbandan, East of Iran. Iranian Journal of Crystallography and Mineralogy, 20(2): 241-252.(in Persian)
- Stuart, R. and Dentith, M., 2003. Sediment-hosted stratiform Copper deposite in the Adelaide Geosyncline, South Australia: Geophysical responses of Mineralization and the Mineralized environment. Geophysical Signatures of south Australian Mineral Deposits, 2003(3): 169-195.
- White, R.M.S., Collins, S., Denne, R., Hee, R. and Brown, P., 2001. A new survey design fore 3D IP modeling at copper Hill. Journal of the Australian Society of Exploration Geophysics, 32(4): 152-155.



Compiling Data from Geological, Mineralogical and Geophysical (IP/RS) Studies on Mahour Deposit, Northwest of Deh-salm, Lut Block

Arash Gorabjeiri Puor¹ and Mohsen Mobasher^{*2}

1) Department of Geology, Faculty of Science, Islamic Azad University, Miyane Branch, Miyane, Iran

2) Department of Petrology, School of Geosciences, Shahrood University, Shahrood, Iran

Submitted: Apr. 27, 2014

Accepted: Nov. 1, 2014

Keywords: chargeability, especial resistivity, well logging, Mahour, Lut block,

Introduction

The Mahour exploration area is a polymetallic system containing copper, zinc and silver. The mineralization can be seen in two forms of veins and disseminations. This area is structurally within the Lut block, west of Deh-salm Village. Recent exploration work and studies carried out by geologists on this volcanic-plutonic area of Lut demonstrate its importance indicating new reserves of copper, gold, and lead and zinc.

Several articles have been published on the Mahour deposit in recent years, including work on fluid inclusions (Mirzaei et al., 2012a; Mirzaei et al., 2012b).

The present report aims at completion of previous studies on Mahour. During the course of this research, the IP/RS geophysical methods were used to locate the extent and depth of sulfide veins in order to locate drill sites. The IP/RS method has been used extensively worldwide in locating sulfide mineralization at deposits such as Olympic Dam in Australia (Esdale et al., 1987), Hishikari epithermal gold deposit in Kagoshima, Japan (Okada, 1995) and Cadia-Ridgeway copper and gold deposit in New South Wales, Australia (Rutley et al., 2001).

Materials and Methods

1. Determination of mineralogy of ore and alteration by examination of 70 thin sections and 45 polished sections.
2. Compilation of geological and mineralization maps of the studied area at a scale of 1:1000.
3. Geological, alteration, mineralization and trace element geochemical studies of 6 drill holes.
4. IP/RS measurements for 2585 points on a rectangular grid with profile intervals of 50 meters and electrode intervals of 20 meters.

5. Interpretation of IP/RS results.

Discussion

The Mahour area is covered by a volcanic sequence of basalt, andesite, dacite, rhyolite and pyro-clastics. During the Late Eocene through Early Oligocene this volcanic complex was intruded by several diorite and quartz-diorite bodies, which were responsible for mineralization of the area. Mineralized veins hosted by dacite show NNE trends with 85 to 90° dips, and which are accompanied by argillic, silicic, quartz-sericite-pyrite and propylitic alteration zones. The primary minerals include pyrite, chalcopyrite, sphalerite, galena, tetrahedrite, and quartz along with supergene minerals such as malachite, atacamite, azurite and goethite. High anomalies of copper (up to 103062 ppm), zinc (up to 213520 ppm) and silver (up to 1988 ppm) are present in the studied area.

The IP/RS surveys were carried out on profiles perpendicular to the veins. The chargeability levels reached 40 msce, indicating the presence of sulfide minerals in the area. Two especially anomalous resistivity zones, high and low, were detected within the deposit. The high resistivity zone, up to 350 ohm.m, occurs along geophysical profiles in association with less-crushed zones, whereas the low anomaly zone is related to highly crushed zones.

The geophysical anomalies agree with drilling results indicating zones of highest mineralization.

Results

Generally, the chargeability surveys have clearly revealed two anomalous zones: one in the northeast and the other in the southwest of the studied area. Six holes have been drilled through

*Corresponding authors Email: mobasherimohsen@yahoo.com

these anomalous zones and geochemical samples taken at intervals of 1 meter in each hole. Most of the anomalies are associated with quartz-sericite-pyrite, silicification and chloritic alteration as well as the intense distribution of secondary iron oxides.

Geochemical results from the drill holes show the highest anomalies as follows:

GBH-1, 78-92 m, 246-281 m

GBH-3 20-40 m and 133-152 m

GBH-7 20-32 m and 57-65m

PB-1 85-94 m. and 133-140 m

PD-1. 50-55 m, 298-301 m and 360-365 m

PA-1 48-57 m, 152-161 m and 212-218 m

References

- Esdale, D.J., Pridmore, D.F., Coggen, J.H., Muir, P.M., Williams, P.K. and Fritz, F.P., 1987. Olympic Dam deposite- Geophysical case history. *Journal of the Australian Society of Exploration Geophysics*, 18(2): 47- 49.
- Mirzaei Rayni, R., Ahmadi, A. and Mirnejad, H., 2012a. The origin of ore-forming fluids in the Mahour polymetal ore deposit, using electron microprobe data and sulfur isotopes, East of Lut block, Central Iran. *Journal of Petrology*, 3(10): 1-12. (in Persian with English abstract)
- Mirzaei Rayni, R., Ahmadi, A. and Mirnejad, H., 2012b. Study of mineralogy and fluid inclusions in the Mahour polymetal ore deposit, East of Lut block, Central Iran. *Iranian Journal of Crystallography and Mineralogy*, 20(2): 307-318.(in Persian)
- Okada, K., 1995. Geophysical exploration for epithermal gold deposits: Case studies from the Hishikari gold mine, Kagoshima, Japan. *Journal of the Australian Society of Exploration Geophysics*, 26(3): 78- 83.
- Rutley, A., Oldenburg, D.W. and Shekhtman, R., 2001. 2-D and 3-D IP/resistivity inversion for the interpretation of Isa-style targets. *Journal of the Australian Society of Exploration Geophysics*, 32(4): 156-159.